

Fig. 2C.

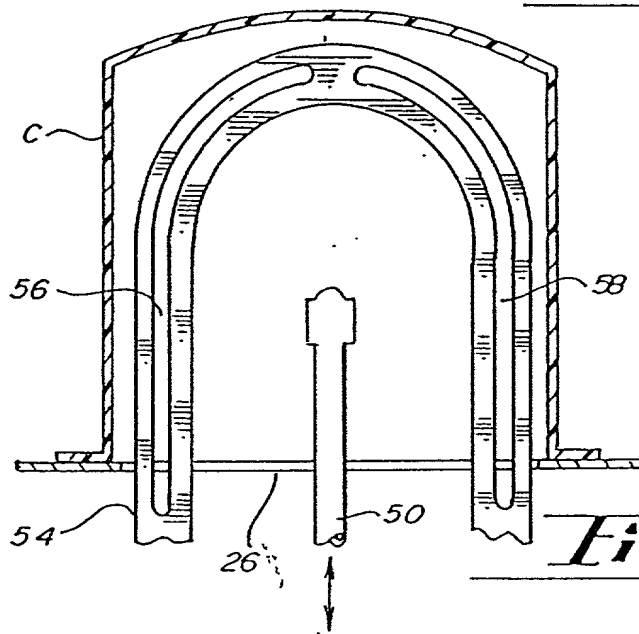


Fig. 2D.

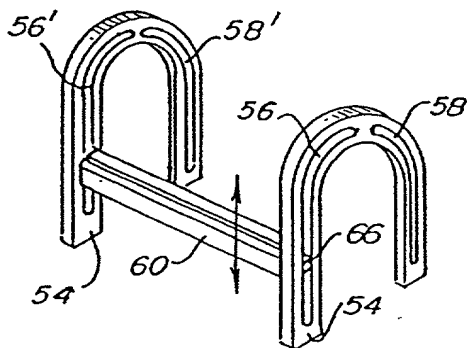


Fig. 2E.

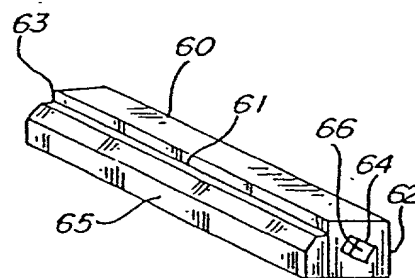
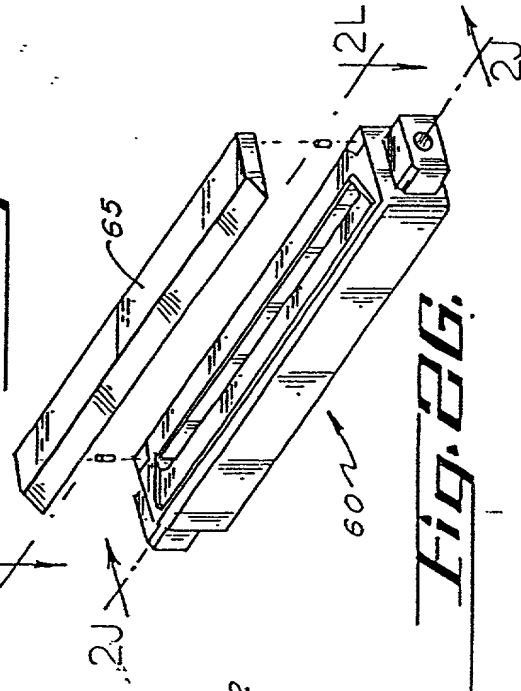
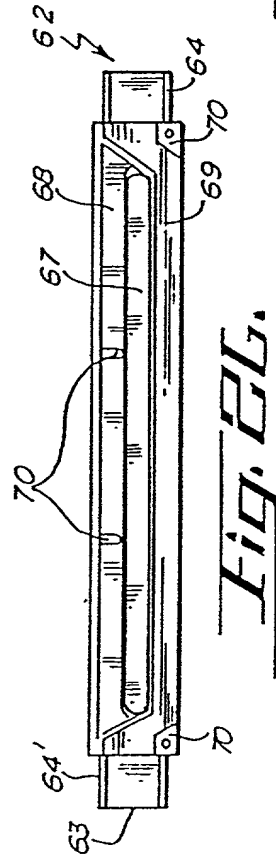
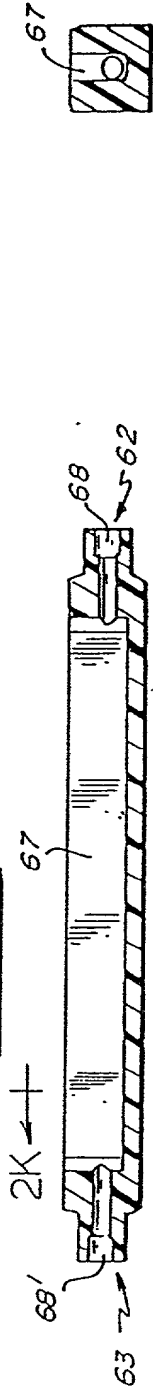
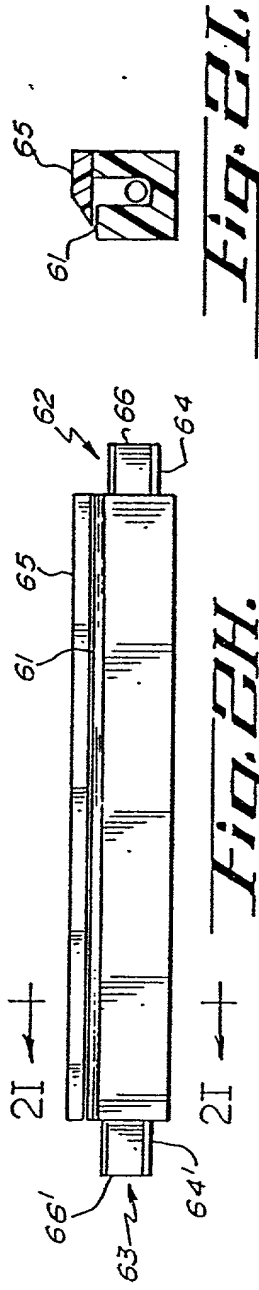
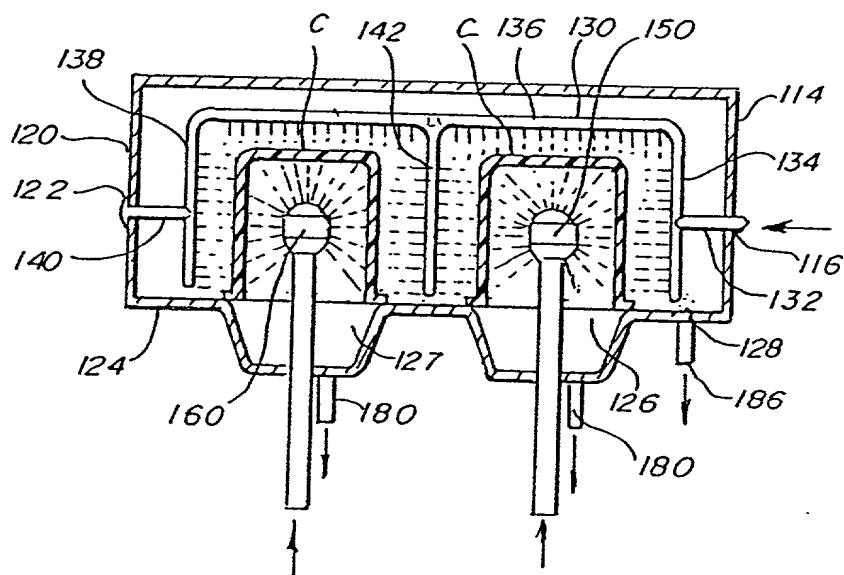
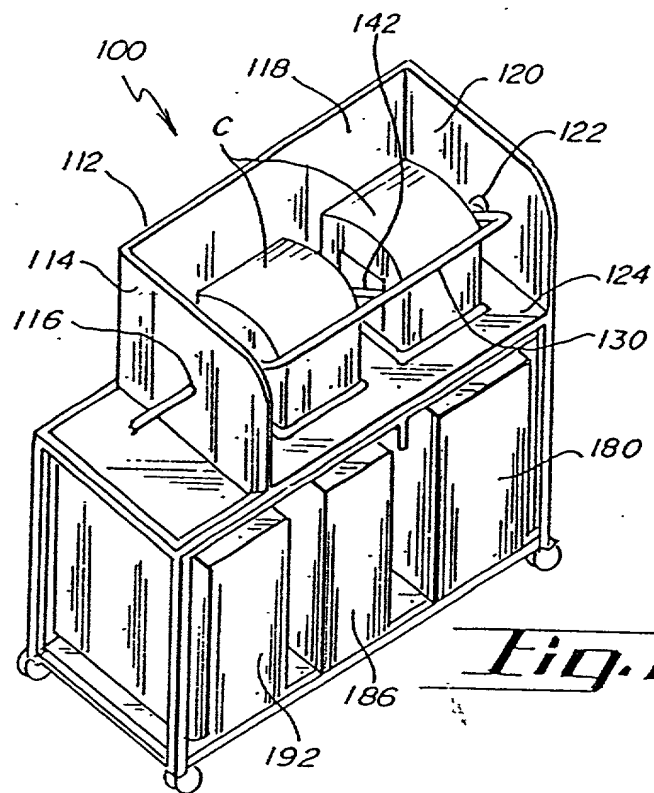
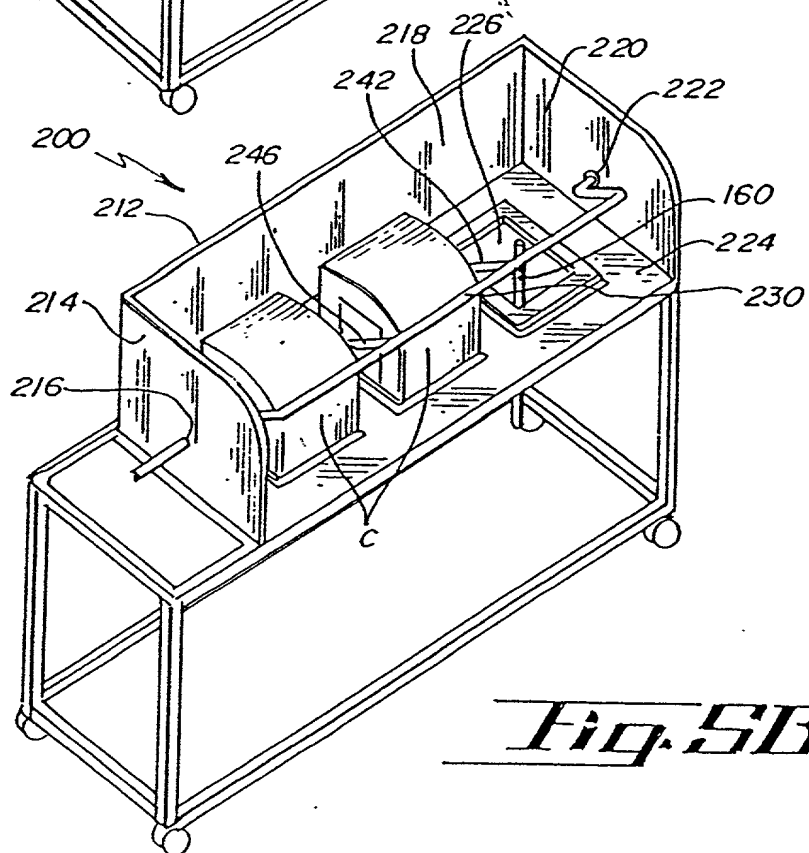
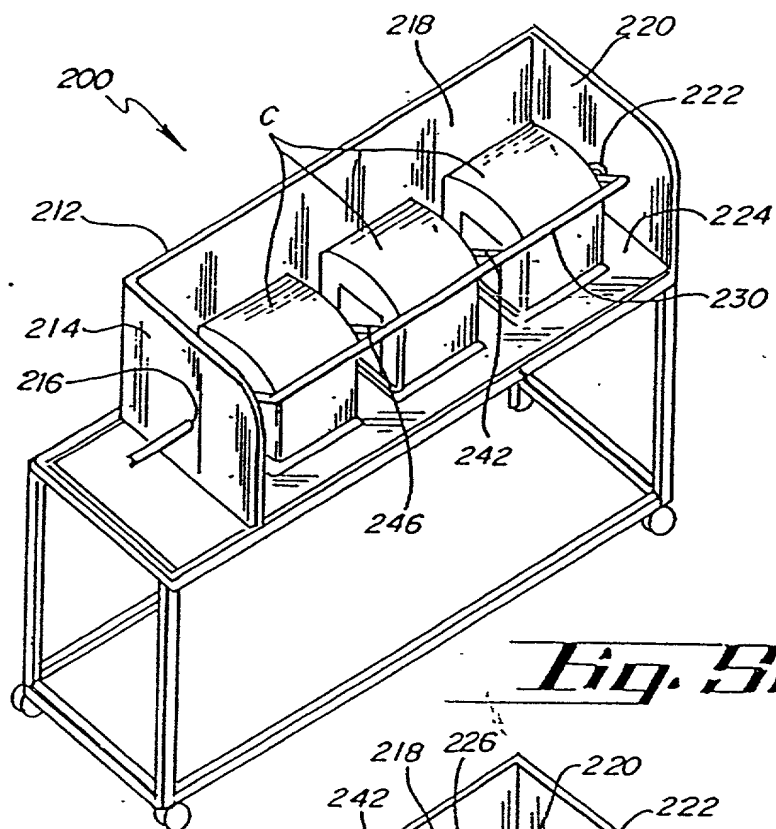
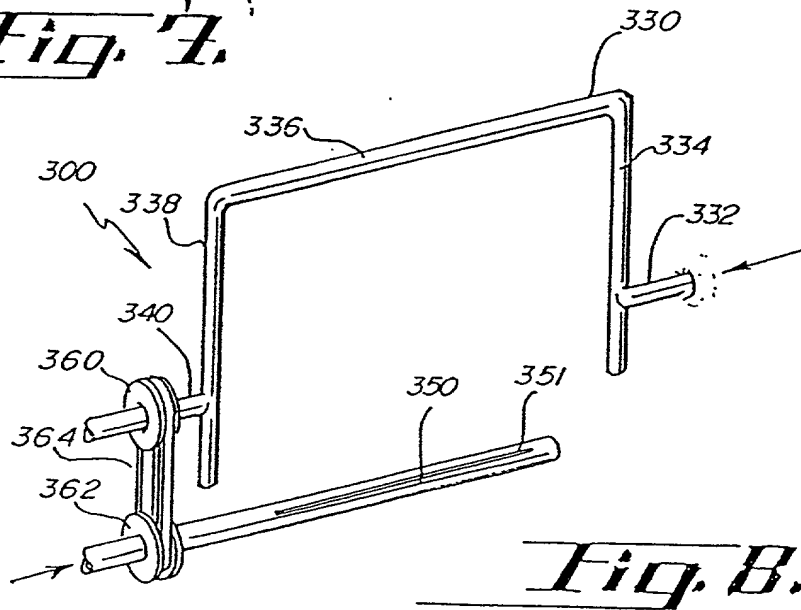
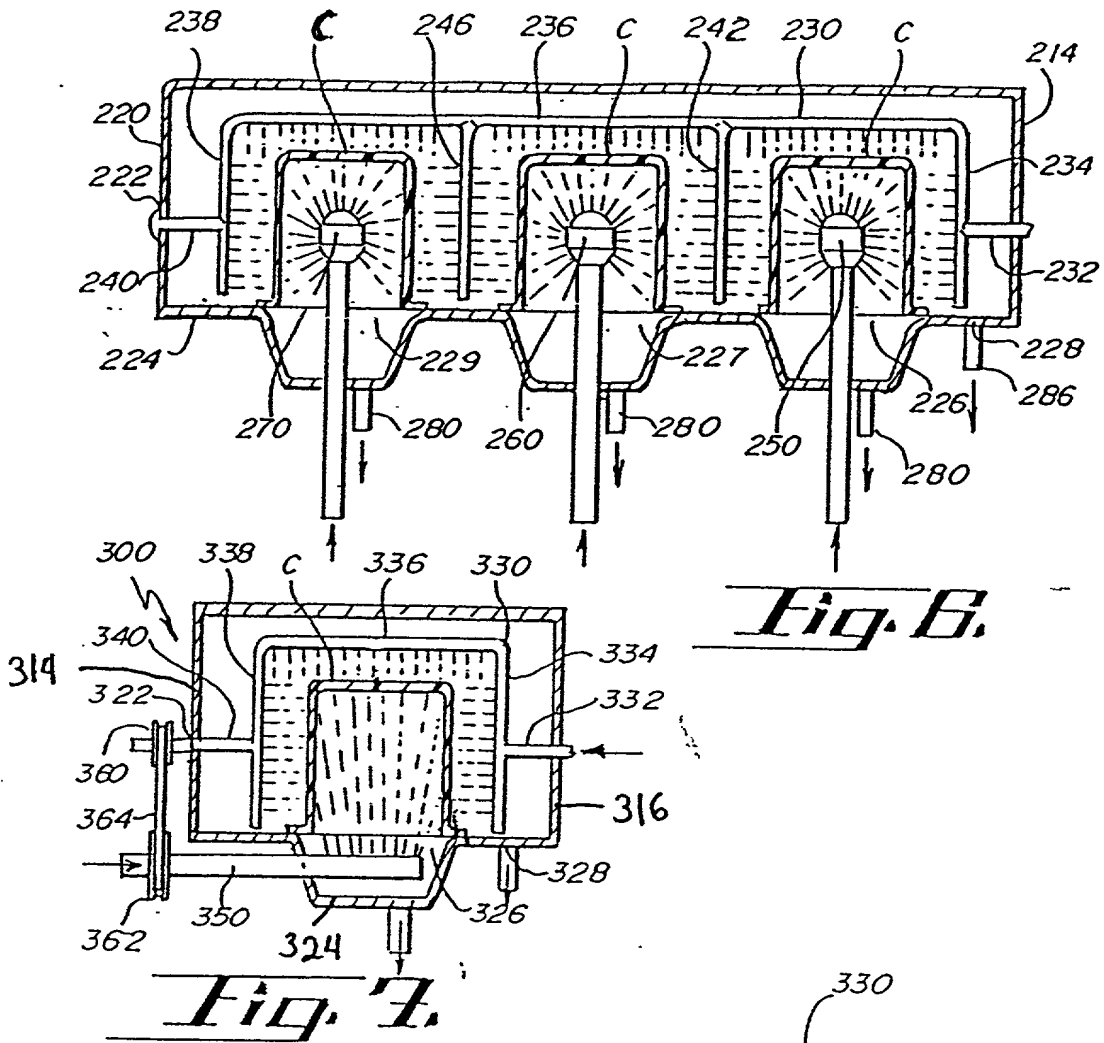


Fig. 2F.









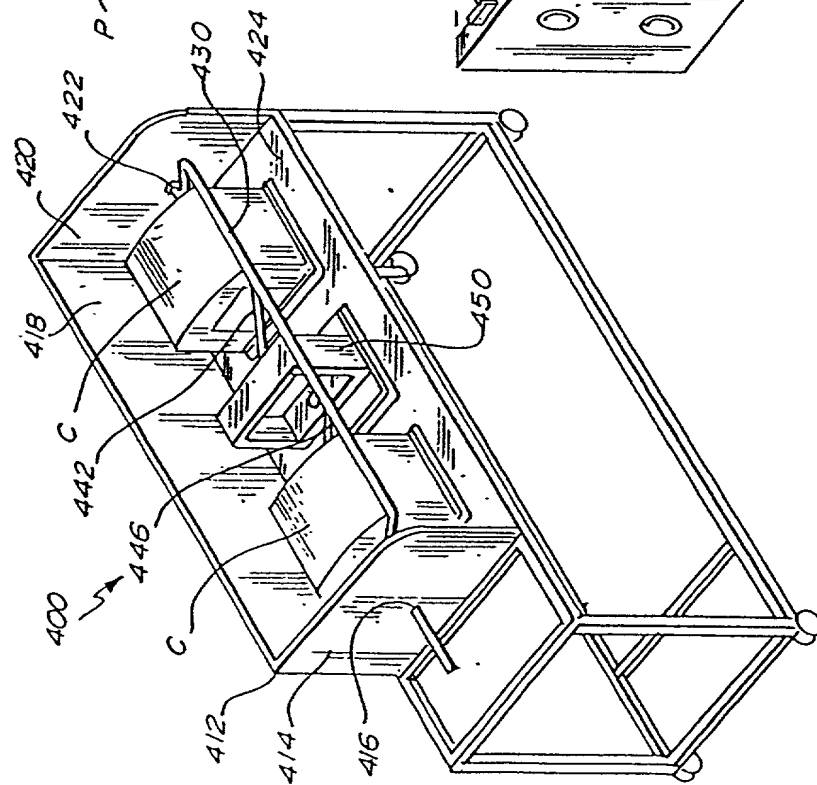


Fig. 9.

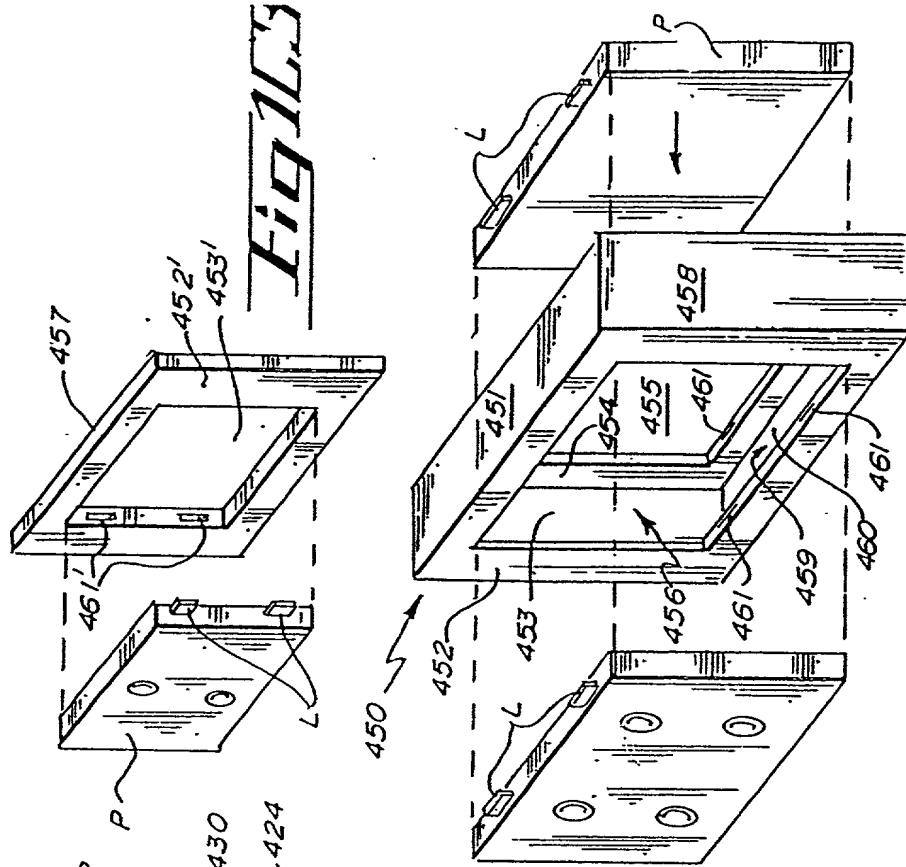
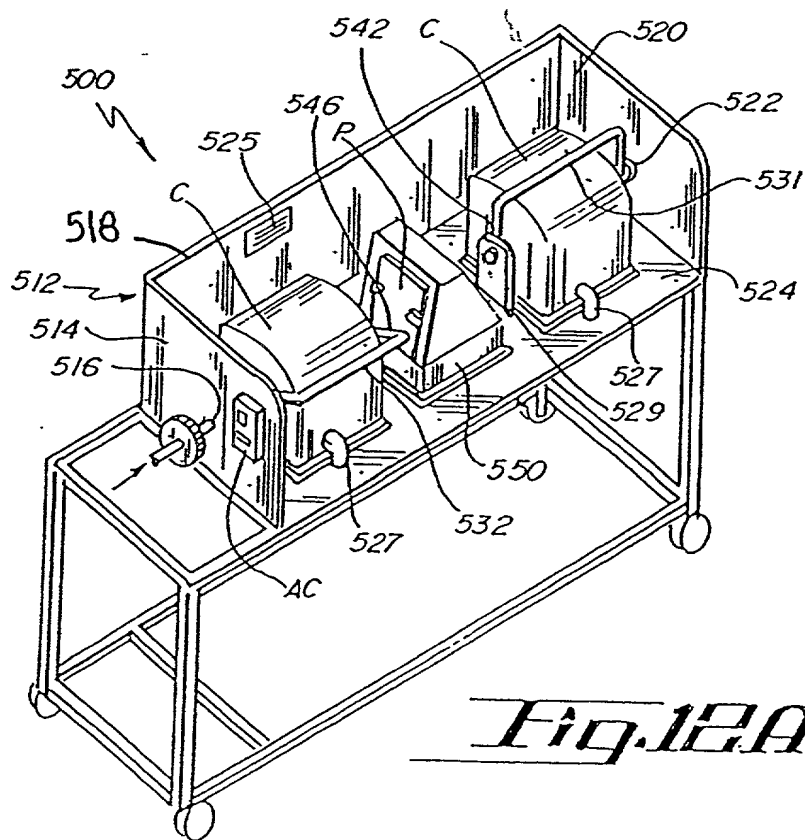
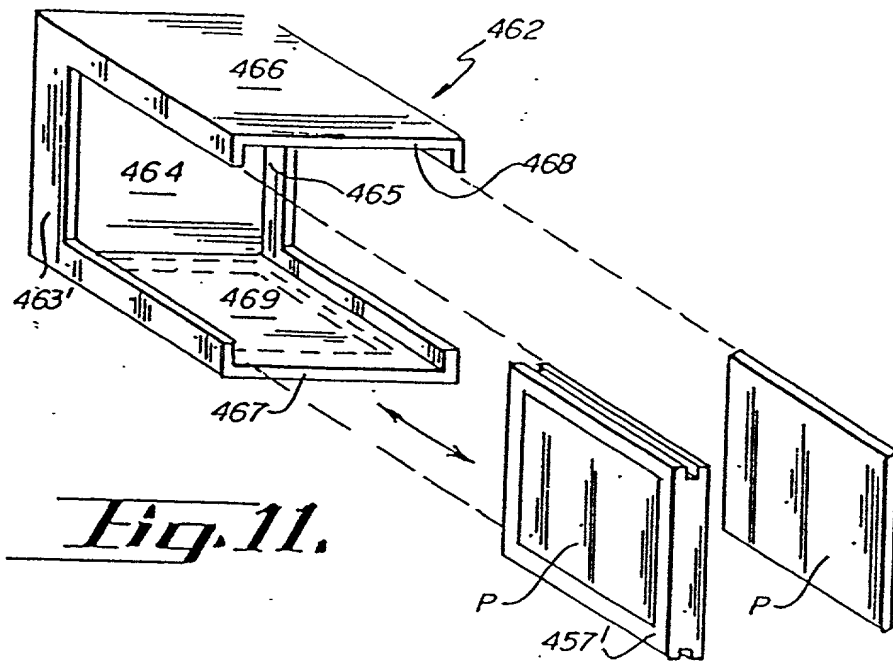


Fig. 10A.

Fig. 10B.



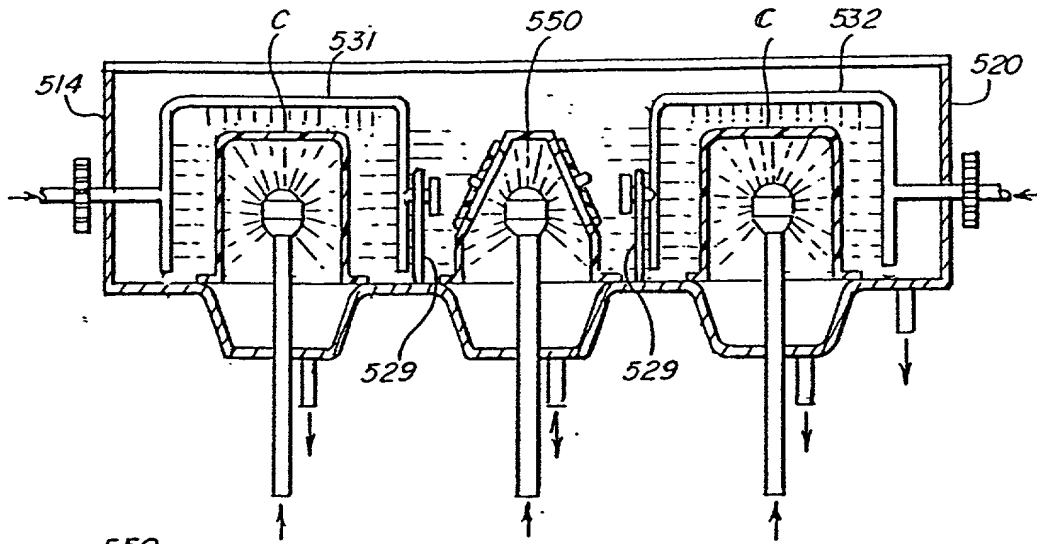


Fig. 12B.

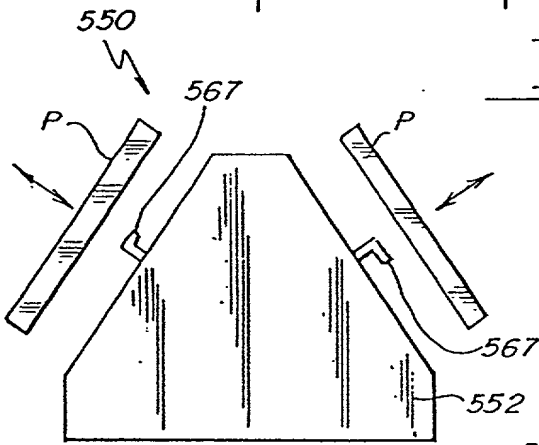


Fig. 13A.

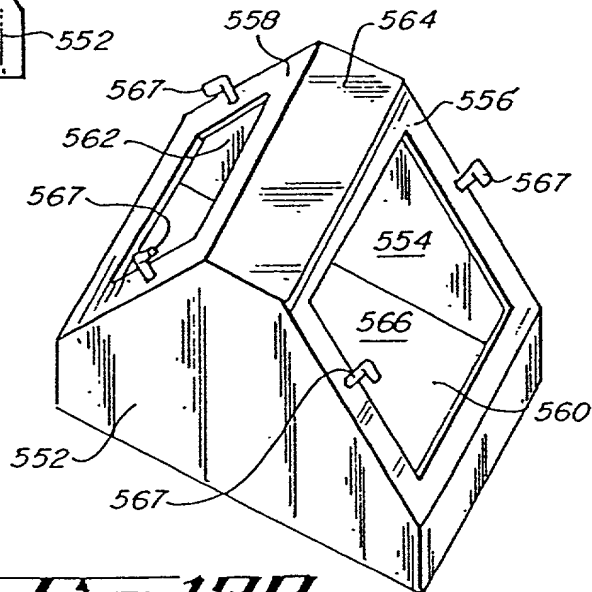
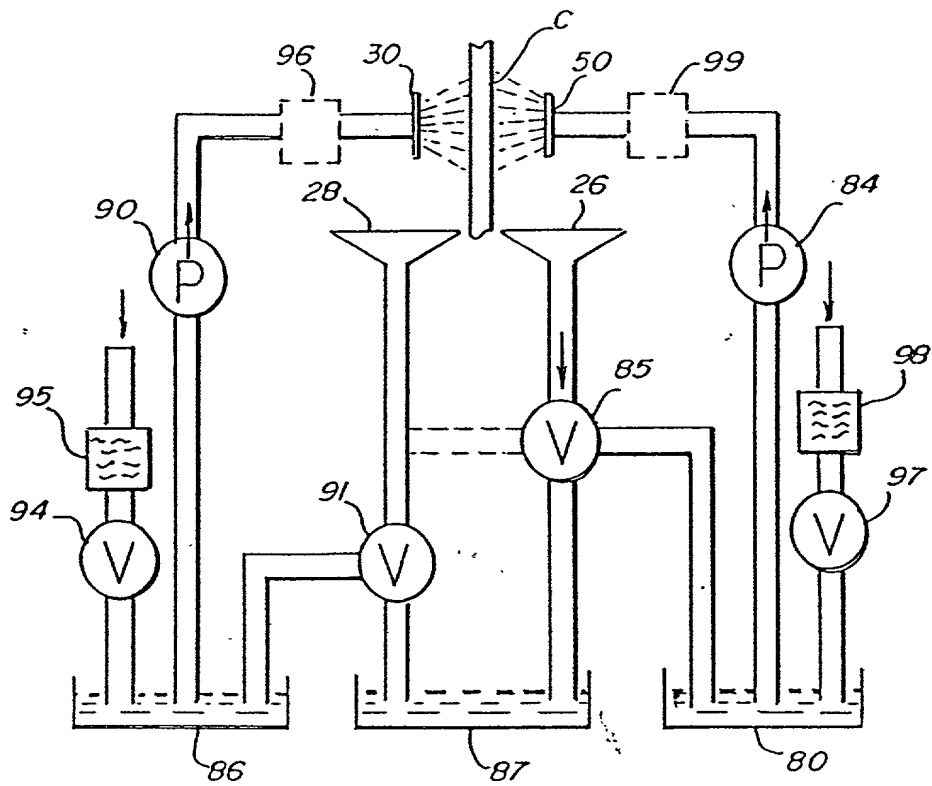


Fig. 13B.



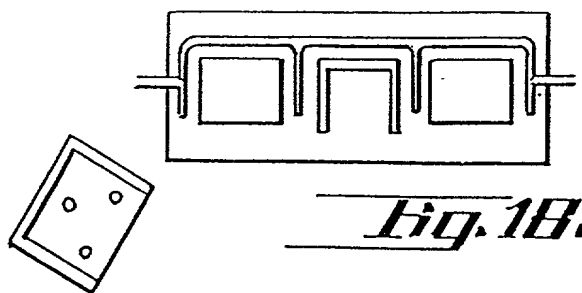


Fig. 18.

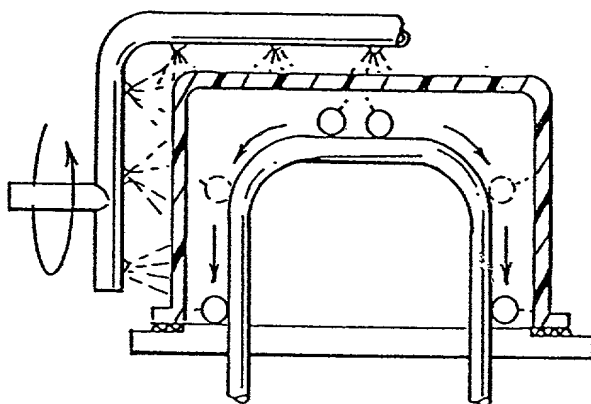


Fig. 19.

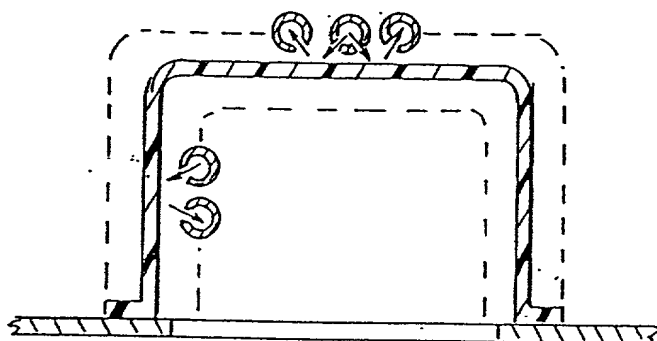


Fig. 20.

FIG. 21

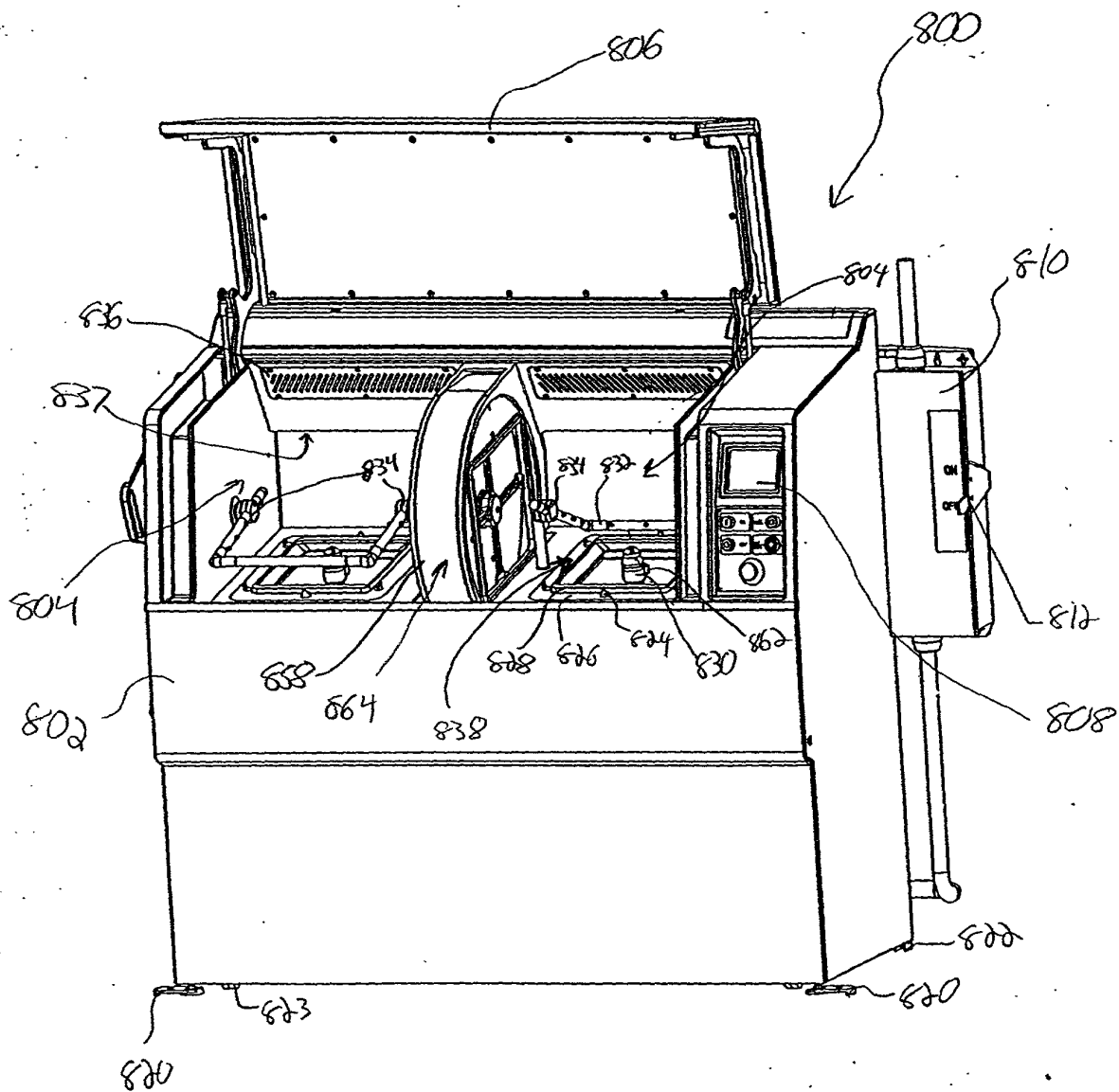


Fig. 21

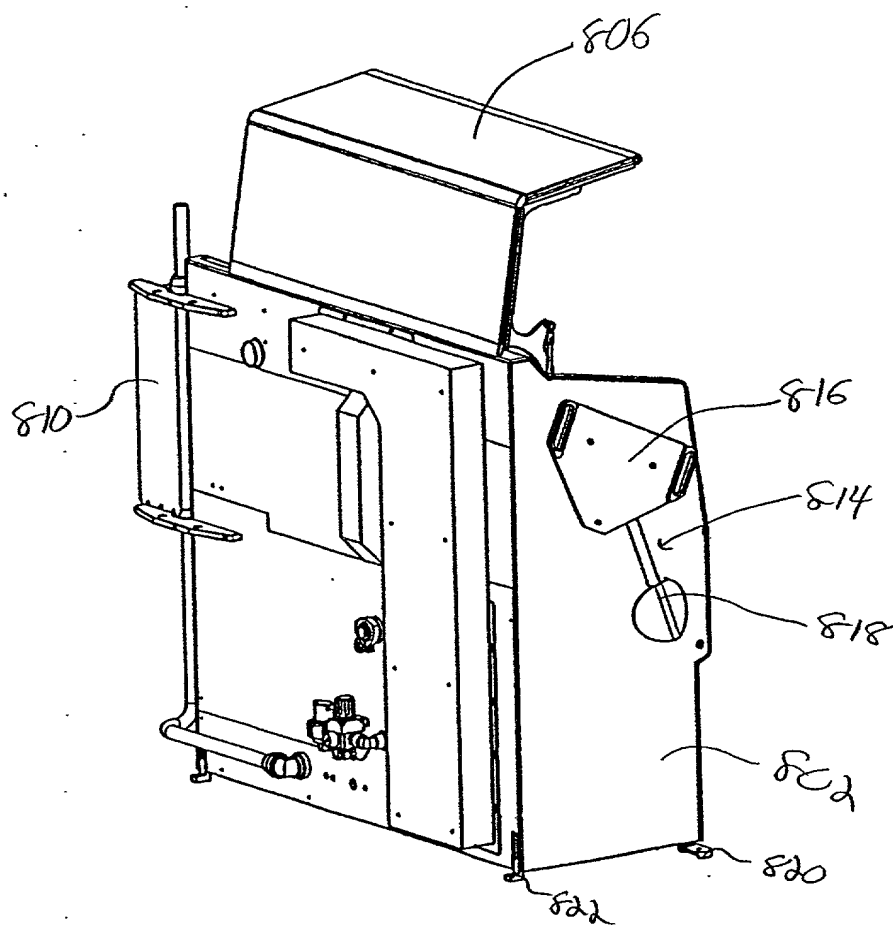
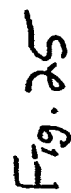
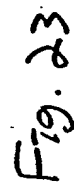
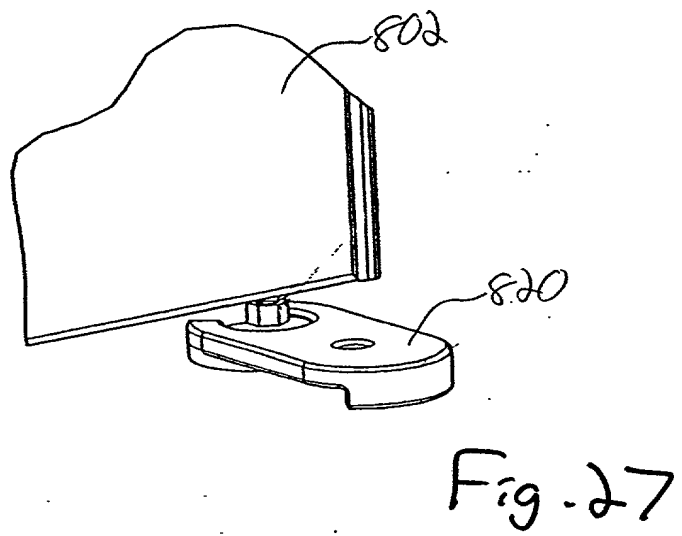
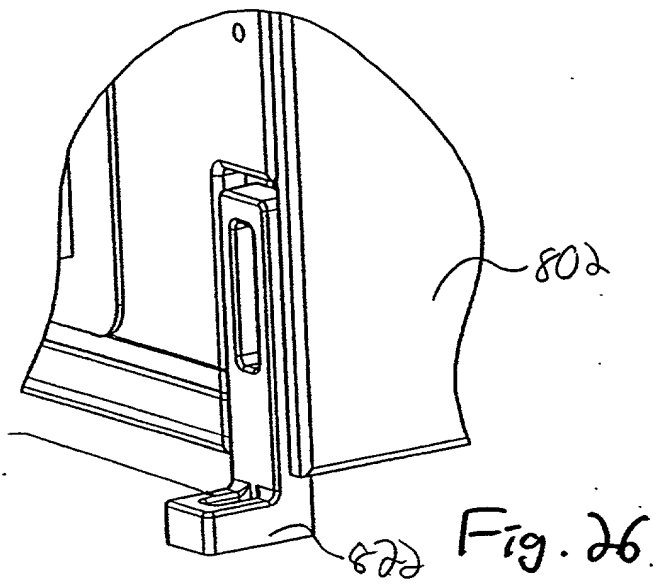


Fig. 22





00010-0311360

Fig.
30



Fig. 3

20200705 05:11:22

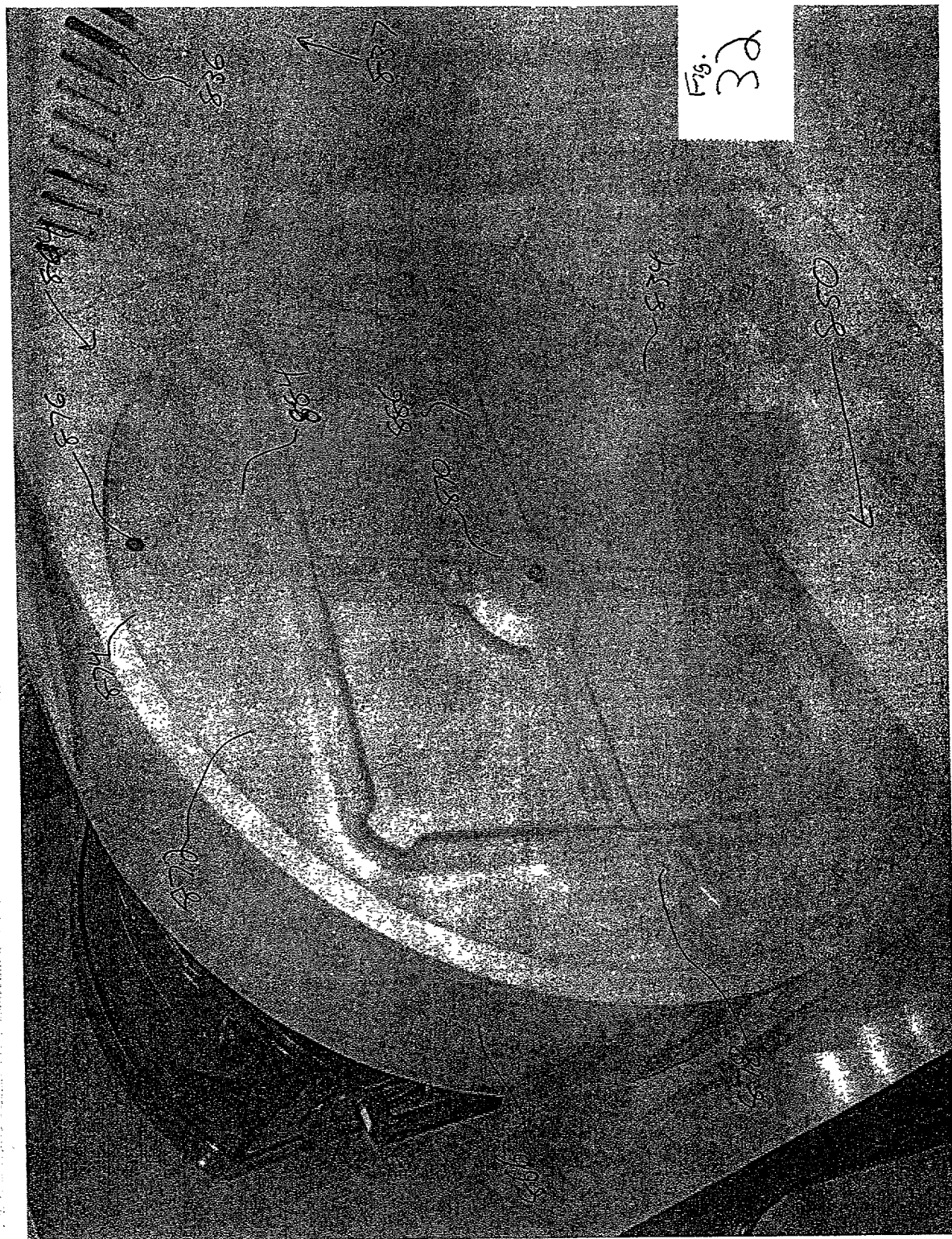


Fig. 3d

00000000000000000000

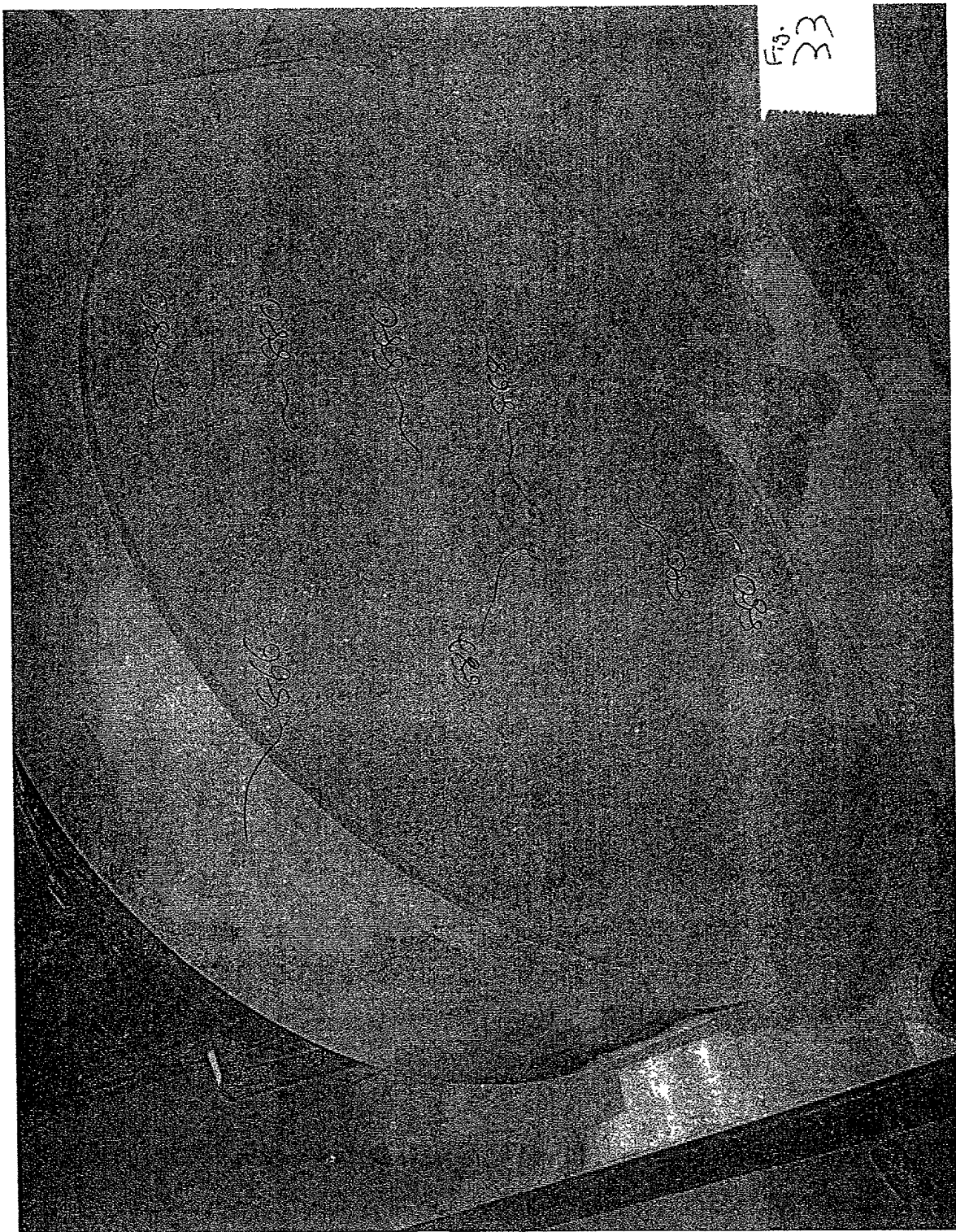


Fig. 34

